





دانشگاه صنعتی اصفهان

دانشکده شیمی

اندازه گیری الکترو کاتالیزی برخی ترکیبات بیولوژیک با بکار گیری نانو لوله های کربنی به عنوان سنسور و اصلاحگر آلی در سطح الکترود خمیر کربن

پایان نامه کارشناسی ارشد شیمی تجزیه

سمیرا دادخواه تهرانی

استاد راهنما

پروفسور علی اصغر انصافی



دانشگاه صنعتی اصفهان

دانشکده شیمی

پایان نامه کارشناسی ارشد رشته شیمی تجزیه سمیرا دادخواه تهرانی

تحت عنوان

اندازه گیری الکتروکاتالیزی برخی ترکیبات بیولوژیک با بکار گیری نانولوله های کربنی

به عنوان سنسور و اصلاحگر آلی در سطح الکترود خمیر کربن

در تاریخ ۱۳۸۹/۹/۲۹ توسط کمیته تخصصی زیر مورد بررسی و تصویب نهایی قرار گرفت:

پروفسور علی اصغر انصافی

۱- استاد راهنما

پروفسور بهزاد رضایی

۲- استاد مشاور

پروفسور تقی خیامیان

۳- استاد داور

دکتر محمد سراجی

۴- استاد داور

پروفسور بیژن نجفی

سرپرست تحصیلات تکمیلی دانشکده

قدردانی و سپاس

سپاس بی کران خداوندی را که موهبت تفکر را به انسان ارزانی داشت، تا از برکت آن به پرورش و شکوفایی ذوق و اندیشه‌ی خویش بپردازد و از سایر موجودات عالم هستی ممتاز گردد.

در پایان این دوره بر خود لازم می‌دانم به رسم ادب و حق شناسی مراتب سپاس و امتنان خود را نسبت به استاد

گرامی و ارجمند جناب آقای پروفسور علی اصغر انصافی

که راهنمایی‌های ارزنده‌ی ایشان در طول تحقیق، پژوهش و نگارش این پایان‌نامه راهگشای من بوده است، ابراز نمایم،

همچنین از جناب آقای پروفسور بهزاد رضایی که مشاور

اینجانب در به ثمر رسیدن این تحقیق بودند نیز تشکر و قدردانی می‌نمایم.

همچنین از تشریک مساعی جناب آقای پروفسور تقی

خیامیان و جناب آقای دکتر محمد سراجی به عنوان

متخصص و صاحب‌نظر از گروه شیمی تجزیه دانشکده‌ی شیمی

که زحمت بازخوانی این رساله را متقبل شدند و بواسطه‌ی

پیشنهادهای سازنده‌ی ایشان در تنظیم نهایی این رساله، کمال

تشکر را دارم. از جناب آقای پروفسور بیژن نجفی به عنوان

رئیس تحصیلات تکمیلی نیز تشکر و قدردانی می‌نمایم.

همچنین از تمامی استادان دانشکده‌ی شیمی که در طول

دوران تحصیل از محضرشان کسب فیض نموده‌ام، سپاسگزارم.

کلیه حقوق مادی مترتب بر نتایج مطالعات،
ابتكارات و نوآوریهای ناشی از تحقیق موضوع
این پایان نامه (رساله) متعلق به دانشگاه صنعتی
اصفهان است.

تعدیم به مدرف اکارم

که شوق، انگیزه و امید را از صفائی

باطنش و گرمای وجودش مایه گرفتم.

تعدیم به مادر مهربانم

که شفافیت نگاهش، لطافت تبسم‌هایش و زلالی دل

مهربانش زیباترین بھاران را برایم تداعی می‌کند.

تعدیم به همسر عزیزم

که صداقت، محبت و لطف بی‌انتهاش در

تمامی مراحل زندگی قرین لحظاتم خواهد بود.

فهرست مطالب

۱۸.....	۱۸-۱- الکترود کار خمیر کربن
۱۹.....	۱۸-۲- الکترود کار خمیر نانولوله‌ی کربنی
	فصل دوم: مقدمه‌ای بر الکتروشیمی
۲۰.....	۲-۱- مقدمه
۲۱.....	۲-۲- فرآیندهای الکتروشیمیایی
۲۱.....	۲-۲-۱- بررسی فرآیندهای الکتروشیمیایی
۲۱.....	۲-۲-۲- مطالعه‌ی واکنش‌های الکترودی و شیمی پل
۲۲.....	۲-۳-۱- طبیعت واکنش‌های الکترودی
۲۳.....	۲-۴-۱- ولتامتری
۲۳.....	۲-۴-۲- ولتامتری با الکترودهای جامد
۲۳.....	۲-۴-۳- ولتامتری چرخه‌ای
۲۵.....	۲-۵- نگرش سینتیکی بر سیستم‌های الکتروشیمیایی
۲۵.....	۲-۵-۱- سیستم‌های برگشت پذیر
۲۷.....	۲-۵-۲- سیستم‌های برگشت‌ناپذیر و شبه‌برگشت‌پذیر
۲۸.....	۲-۶- مطالعه‌ی مکانیسم واکنش‌های الکترودی
۲۹.....	۲-۷- کاتالیز الکتروشیمیایی واکنش‌های اکسیداسیون و احیای کند
۳۰.....	۲-۸-۱- الکترودهای بکار گرفته شده در روش‌های ولتامتری
۳۱.....	۲-۸-۲- الکترود کار
۳۱.....	الکترودهای جامد
۳۱.....	الکترودهای کربن شیشه‌ای
۳۲.....	الکترودهای خمیر کربن
۳۲.....	۲-۹- اجزاء خمیر کربن
۳۴.....	۲-۱۰- خصوصیات الکتروشیمیایی الکترودهای خمیر کربن
۳۵.....	۲-۱۱- الکترودهای اصلاح شده شیمیایی
۳۵.....	۲-۱۲- کاربرد عامل اصلاح‌گر در بافت خمیر کربن
۳۶.....	۲-۱۳- واکنش‌های الکتروکاتالیز واسطه‌ای
۳۷.....	۲-۱۴- نمودارهای تافل
۳۷.....	۲-۱۵- کرونوآمپرومتری
۳۹.....	۲-۱۶-۱- طیف نگاری امپدانس الکتروشیمیایی
۳۹.....	۲-۱۶-۲- مقدمه
۴۰.....	۲-۱۶-۳- نظریه AC
۴۰.....	۲-۱۶-۴- کاپرد تحلیل امپدانس
۴۰.....	امپدانس یک واکنش انتقال الکترون ساده

فصل سوم: بخش تجربی

۴۶	۱-۳- مقدمه
۴۷	۲-۳- دستگاه‌های مورد استفاده
۴۸	۳-۳- محلول‌های مورد نیاز
۴۸	۴-۳- اندازه‌گیری L-سیستئین و تریپتوфан
۴۸	۴-۴- انتخاب سیستم و بررسی رفتار اصلاحگر برای اندازه‌گیری L-سیستئین
۵۰	۲-۴-۳- تهیه‌ی الکترود خمیر نانولوله‌ی کربنی اصلاح شده‌ی پارا آمینو فنل
۵۱	۳-۴-۳- بهینه‌سازی پارامترهای غلظتی و دستگاهی در اندازه‌گیری L-سیستئین و تریپتوfan
۵۱	۴-۳-الف- بررسی رفتار الکتروکاتالیستی اصلاحگر
۵۳	۴-۳-ب- بهینه کردن pH
۵۵	۴-۳-ج- بررسی تأثیر سرعت روبش پتانسیل
۵۸	۴-۴-الف- منحنی تنظیم
۶۱	۴-۴-ب- منحنی تنظیم برای اندازه‌گیری همزمان L-سیستئین و تریپتوfan
۶۳	۴-۴-۵- پایداری و حد تشخیص
۶۴	۶-۴-۳- تعیین ضریب انتقال در مرحله‌ی تعیین کننده‌ی سرعت
۶۵	۷-۴-۳- تعیین مقدار ضریب نفوذ L-سیستئین
۶۷	۸-۴-۳- تعیین ثابت سرعت واکنش الکتروکاتالیزوری
۶۹	۹-۴-۳- مطالعات اسپکتروسکوپی امپدانس شیمیایی (EIS)
۷۰	۱۰-۴-۳- بررسی اثر مزاحمت‌ها
۷۱	۱۱-۴-۳- آنالیز نمونه‌های حقیقی
۷۴	۱۲-۴-۳- بحث و نتیجه‌گیری
۷۷	۵-۴-۳- اندازه‌گیری گلوتاتیون
۷۷	۵-۵-۱- انتخاب سیستم و بررسی اصلاحگر برای اندازه‌گیری گلوتاتیون
۷۷	۵-۵-۲- بهینه‌سازی پارامترهای غلظتی و دستگاهی برای اندازه‌گیری گلوتاتیون
۷۷	۵-۵-۳-الف- بررسی رفتار الکتروکاتالیستی اصلاحگر
۷۹	۵-۵-۳-ب- بهینه کردن pH
۸۱	۵-۵-۳-ج- بررسی تأثیر سرعت روبش پتانسیل
۸۳	۵-۵-۳- منحنی تنظیم
۸۶	۵-۵-۴- پایداری و حد تشخیص
۸۶	۵-۵-۵- تعیین ضریب انتقال در مرحله‌ی تعیین کننده‌ی سرعت
۸۷	۵-۵-۶- تعیین مقدار ضریب نفوذ گلوتاتیون
۸۹	۵-۵-۷- تعیین ثابت سرعت واکنش الکتروکاتالیزوری
۹۰	۵-۵-۸- مطالعات اسپکتروسکوپی امپدانس شیمیایی (EIS)
۹۰	۵-۵-۹- بررسی اثر مزاحمت‌ها
۹۱	۵-۱۰- آنالیز نمونه‌های حقیقی

۹۳.....	۱۱-۵-۳-بحث و نتیجه گیری
۹۶.....	مراجع

فهرست شکل‌ها

<u>صفحه</u>	<u>عنوان</u>
۳	شکل (۱-۱) ساختار کلی α -آمینو اسیدها
۴	شکل (۲-۱) ساختار L-سیستئن
۵	شکل (۳-۱) اکسایش سیستئن و کاهش سیستئن
۶	شکل (۴-۱) ساختار تریپتوفان
۷	شکل (۵-۱) ساختار گلوتاپون
۱۴	شکل (۶-۱) مولکول‌های نانولوله‌ی تک دیواره با ساختارهای متفاوت. a) ساختار آرمچیر b) ساختار زیگزاگ و c) ساختار کابرال
۱۷	شکل (۷-۱) نواقص موجود در دیواره‌ی نانولوله‌های کربنی در مقایسه با نانولوله‌های بدون نقص
۲۲	شکل (۱-۲) طرح لایه‌ی واکنش یا لایه‌ی سطحی الکترود
۲۵	شکل (۲-۲) الف- علامت تحریک پتانسیل- زمان در آزمایش ولتامتری چرخه‌ای. ب- نمونه‌ای از ولتاموگرام چرخه‌ای برای یک فرآیند ردوکس برگشت پذیر
۲۶	شکل (۳-۲) ولتاموگرام چرخه‌ای برای یک فرآیند برگشت پذیر، $O + e \leftrightarrow R$. در ابتدا فقط O در محلول موجود است
۲۸	شکل (۴-۲) ولتاموگرام‌های چرخه‌ای برای فرآیندهای ردوکس (A) برگشت ناپذیر و (B) شبه برگشت پذیر
۳۷	شکل (۵-۲) نمودارهای تافل برای شاخه‌های آندی و کاتدی نمودار جریان-پتانسیل مازاد برای $O + e \leftrightarrow R$ با $T = ۲۹۸\text{ K}$ ، $a = ۰/۵۰$ و $J_0 = ۱۰^{-۶}\text{ A/cm}^2$
۳۹	شکل (۶-۲) الف- نمودار تغییر پتانسیل- زمان، ب- تغییرات برش‌های غلظتی با زمان و ج- پاسخ شدت جریان- زمان به وجود آمده
۴۳	شکل (۷-۲) نمودار امپدانس صفحه مختلط برای مدار RC موازی. این ساده ترین نمودار مشابه ممکن برای یک واکنش فارادایی در الکترودی با خازنی به ظرفیت C_{dl} در سطح مشترک است
۴۴	شکل (۸-۲) نمودار صفحه مختلط مانند شکل (۷-۲)، به اضافه مقاومت جبران نشده محلول
۴۵	شکل (۹-۲) مدار معادل برای یک واکنش الکترودی با خازن لایه دوگانه C_{dl} و مقاومت جبران نشده محلول (R_u) مقاومت محلول به مقاومت انتقال بار (R_u) و امپدانس واربرگ تفکیک شده است
۴۷	شکل (۱۰-۲) نمودار امپدانس صفحه مختلط برای مدار شکل (۹-۲)
۴۸	شکل (۱-۳) شمای یک طرف آزمایش (سل) برای اندازه‌گیری‌های الکتروشیمیایی، WE = الکترود کار، RE = الکترود مرجع و CE = الکترود کمکی پلاتین
۴۹	شکل (۲-۳) پارا آمینو فنل
۵۰	شکل (۳-۳) بررسی رفتار ولتامتری چرخه‌ای: a) اصلاح‌گر پارا آمینو فنل در سطح الکترود خمیر نانولوله‌ی کربنی اصلاح شده با پارا آمینو فنل ، b) الکترود خمیر نانولوله‌ی کربنی ساده؛ در حضور بافر فسفات $1/۰$ مولار $pH = ۶/۰$ و پتاسیم کلرید $۰/۱$ مولار و سرعت اسکن ۲۰ میلی ولت بر ثانیه
۵۰	شکل (۴-۳) بررسی pH های مختلف بر روی پیک اکسیداسیون اصلاح‌گر پارا آمینو فنل در سطح الکترود خمیر نانولوله‌ی کربنی اصلاح شده با پارا آمینو فنل: (a) $pH = ۵/۰$ (b) $pH = ۶/۰$ و (c) $pH = ۷/۰$ در حضور بافر فسفات و پتاسیم کلرید $۱/۰$ مولار و سرعت اسکن ۲۰ میلی ولت بر ثانیه

- شکل (۵-۳) ولتاموگرام چرخه‌ای: g) الکترود خمیر کربن ساده در حضور غلظت $400/0$ میکرو مولار L-سیستین، f) الکترود خمیر نانولوله‌ی کربنی در حضور غلظت $400/0$ میکرو مولار L-سیستین، c) الکترود خمیر کربن اصلاح شده در حضور غلظت $400/0$ میکرو مولار L-سیستین، d) الکترود خمیر نانولوله‌ی کربنی اصلاح شده با غلظت $400/0$ میکرو مولار L-سیستین، a) اصلاح‌گر پارا آمینو فنل در سطح الکترود خمیر نانولوله‌ی کربنی اصلاح شده پارا آمینو فنل، e) الکترود نانولوله‌ی کربنی در حضور تریپتوфан با غلظت $300/0$ میکرو مولار و b) الکترود خمیر نانولوله‌ی کربنی اصلاح شده در حضور غلظت $300/0$ میکرومولار تریپتوfan، در حضور غلظت $1/0$ مولار KCl (الکتروولیت حامل) و سرعت روبش 20 mVs^{-1} نسبت به الکترود مرجع نقره/کلرید و بافر فسفات با $\text{pH}=6/0$.
..... ۵۲
- شکل (۶-۳) تصاویر SEM: A) خمیر نانولوله‌ی کربنی اصلاح شده پارا آمینو فنل و B) خمیر کربن ساده.
..... ۵۳
- شکل (۷-۳) ولتاموگرام‌های چرخه‌ای: a) الکترود خمیر نانولوله‌ی کربنی ساده، b) الکترود خمیر نانولوله‌ی کربنی ساده در حضور غلظت $400/0$ میکرومولار L-سیستین، c) الکترود خمیر نانولوله‌ی کربنی اصلاح شده (شاهد) و d) الکترود خمیر نانولوله‌ی کربنی اصلاح شده در حضور غلظت $400/0$ میکرومولار L-سیستین؛ در حضور بافر فسفات $\text{pH}=6/0$ و غلظت $1/0$ مولار KCl (الکتروولیت حامل) و سرعت روبش 20 mVs^{-1} نسبت به الکترود مرجع نقره/کلرید.
..... ۵۴
- شکل (۸-۳) بررسی تأثیر pH بر روی تفاوت جریان پیک شاهد و نمونه‌ی با غلظت $400/0$ میکرومولار L-سیستین در حضور غلظت $1/0$ مولار KCl (الکتروولیت حامل) در سطح الکترود خمیر نانولوله‌ی کربنی 1% نسبت به پارا آمینو فنل و سرعت روبش 20 mVs^{-1} .
..... ۵۵
- شکل (۹-۳) ولتاموگرام چرخه‌ای الکترود خمیر نانولوله‌ی کربنی اصلاح شده پارا آمینو فنل در غیاب تریپتوfan و b) در حضور غلظت $300/0$ میکرومولار تریپتوfan، در شرایط غلظت $1/0$ مولار KCl (الکتروولیت حامل) و سرعت روبش 20 mVs^{-1} نسبت به الکترود مرجع نقره/کلرید و بافر فسفات $1/0$ مولار $\text{pH}=6/0$.
..... ۵۶
- شکل (۱۰-۳) نمودار تغییرات شدت جریان پیک آندی مربوط به اصلاح‌گر پارا آمینو فنل با $v^{1/2} (\text{mVs}^{-1})^{1/2}$ در حضور بافر فسفات $1/0$ مولار $\text{pH}=6/0$ و پتاسیم کلرید $1/0$ مولار.
..... ۵۶
- شکل (۱۱-۳) نمودار تغییرات جریان پیک آندی مربوط به غلظت $200/0$ میکرومولار L-سیستین در سطح الکترود خمیر نانولوله‌ی کربنی اصلاح شده بر حسب $v^{1/2} (\text{mVs}^{-1})^{1/2}$ در حضور بافر فسفات $1/0$ مولار $\text{pH}=6/0$ و پتاسیم کلرید $1/0$ مولار.
..... ۵۸
- شکل (۱۲-۳) منحنی تنظیم در ناحیه غلظتی $100/0$ تا $100/0$ میکرومولار L-سیستین (به ترتیب از b تا a)، ولتاموگرام a مربوط به شاهد است). در حضور بافر فسفات با $\text{pH}=6/0$ و $1/0$ مولار پتاسیم کلرید با سرعت روبش $20 \text{ میلی ولت بر ثانیه}$.
..... ۵۹
- شکل (۱۳-۳) منحنی تنظیم در ناحیه غلظتی $100/0$ تا $300/0$ میکرومولار تریپتوfan (به ترتیب از b تا a، ولتاموگرام a مربوط به شاهد است). در حضور بافر فسفات با $\text{pH}=6/0$ و $1/0$ مولار پتاسیم کلرید با سرعت روبش $20 \text{ میلی ولت بر ثانیه}$.
..... ۶۱
- شکل (۱۴-۳) ولتاموگرام پالسی تفاضلی غلظت ثابت $130/0$ میکرومولار تریپتوfan و مقادیر غلظتی مختلف L-سیستین: (۱) $33/0$ و (۲) $38/0$ و (۳) $50/0$ میکرومولار، در حضور بافر فسفات $1/0$ مولار $\text{pH}=6/0$ و $1/0$ مولار پتاسیم کلرید با سرعت روبش $20 \text{ میلی ولت بر ثانیه}$.
..... ۶۲
- شکل (۱۵-۳) ولتاموگرام پالسی تفاضلی غلظت ثابت $1/5$ میکرومولار L-سیستین و غلظت‌های مختلف تریپتوfan، به ترتیب: (۱) $225/0$ ، (۲) $245/0$ و (۳) $300/0$ میکرومولار، در شرایط بافر فسفات $1/0$ مولار $\text{pH}=6/0$ و $1/0$ مولار پتاسیم کلرید با سرعت روبش $20 \text{ میلی ولت بر ثانیه}$.
..... ۶۲

- شكل (۱۶-۳) ولتاموگرام پالسی تفاضلی الکترود خمیر نانولوله کربنی اصلاح شده پارا آمینو فل در حضور غلظت های مختلف L-سیستئین و تریپتوفان به ترتیب: (۱) $0/5 + ۰/۵ + ۱۹/۰ + ۲۱/۰ + ۳۴/۰$ و (۲) $۱۳/۱ + ۲۰/۰ + ۲۵/۰ + ۵۹/۰$ و (۳) $۰/۰ + ۰/۰ + ۳۰/۰ + ۴۰/۰$ و (۴) $۰/۰ + ۰/۰ + ۰/۰ + ۰/۰$ میکرومولار، در حضور بافر فسفات با $pH = ۶/۰$ و $۰/۰$ مولار پتاسیم کلرید با سرعت روبش ۲۰ میلی ولت بر ثانیه ۶۴
- شكل (۱۷-۳) منحنی تافل برای به دست آوردن مقدار α در حضور غلظت $۲۰۰/۰$ میکرومولار L-سیستئین در حضور بافر فسفات $۰/۰$ مولار $pH = ۶/۰$ و $۰/۰$ مولار پتاسیم کلرید با سرعت روبش ۲ میلی ولت بر ثانیه ۶۵
- شكل (۱۸-۳) کرونوآپروگرام های مربوط به غلظت های (به ترتیب از a تا d) $۰/۰ + ۰/۰ + ۳۰/۰ + ۴۰/۰$ میکرومولار L-سیستئین در حضور بافر فسفات $۰/۰$ مولار $pH = ۶/۰$ و $۰/۰$ مولار پتاسیم کلرید با اعمال پله ای پتانسیل دوگانه $۰/۰ + ۰/۰ + ۰/۰ + ۰/۰$ ولت نسبت به الکترود مررج نقره/نقره کلرید ۶۶
- شكل (۱۹-۳) رسم معادله کاترول برای غلظت های (a) $۰/۰ + ۰/۰ + ۳۰/۰ + ۴۰/۰$ و (b) $۰/۰ + ۰/۰ + ۳۰/۰ + ۴۰/۰$ میکرومولار L-سیستئین ۶۷
- شكل (۲۰-۳) کرونوکلوموگرام های مربوط به غلظت های (به ترتیب از a تا d) $۰/۰ + ۰/۰ + ۳۰/۰ + ۴۰/۰$ میکرومولار L-سیستئین در حضور بافر فسفات $۰/۰$ مولار $pH = ۶/۰$ و $۰/۰$ مولار پتاسیم کلرید ۶۸
- شكل (۲۱-۳) اندازه گیری ثابت سرعت الکتروکاتالیزوری L-سیستئین برای غلظت های (a) $۰/۰ + ۰/۰ + ۳۰/۰ + ۴۰/۰$ و (b) $۰/۰ + ۰/۰ + ۰/۰ + ۰/۰$ میکرومولار در شرایط بهینه ۶۹
- شكل (۲۲-۳) دیاگرام نایکوئیست مربوط به الکترود خمیر نانولوله کربنی اصلاح شده پارا آمینو فل: (a) در محلول بافر فسفات $pH = ۶/۰$ (شاهد)، (b) در حضور غلظت $۱۰۰/۰$ میکرومولار تریپتوفان و (c) در حضور غلظت $۱۰۰/۰$ میکرومولار L-سیستئین، در شرایط فرکانس $۱۰/۰$ کیلوهرتز تا $۱/۰$ هرتز ۷۰
- شكل (۲۳-۳) بررسی رفتار الکتروشیمی پارا آمینو فل در سطح الکترود خمیر نانولوله کربنی اصلاح شده پارا آمینو فل (۰/۱) ۷۵
- شكل (۲۴-۳) مکانیسم واکنش پارا آمینو فل با L-سیستئین در سطح الکترود خمیر نانولوله کربنی اصلاح شده ۷۵
- شكل (۲۵-۳) ولتاموگرام چرخه ای: (a) اصلاحگر پارا آمینو فل در سطح الکترود خمیر نانولوله کربنی اصلاح شده با پارا آمینو فل و (b) الکترود خمیر نانولوله کربنی بدون اصلاحگر. در حضور بافر فسفات $۰/۰$ مولار $pH = ۵/۰$ و پتاسیم کلرید $۰/۰$ مولار و سرعت اسکن ۲۰ میلی ولت بر ثانیه ۷۷
- شكل (۲۶-۳) ولتاموگرام چرخه ای مربوط به: (a) غلظت $۵۰/۰$ میکرومولار گلوتاتیون در سطح الکترود خمیر کربن ساده، (b) غلظت $۵۰/۰$ میکرومولار گلوتاتیون در سطح الکترود خمیر نانولوله کربن، (c) پارا آمینو فل در سطح الکترود خمیر نانولوله کربنی اصلاح شده با پارا آمینو فل، (d) غلظت $۵۰/۰$ میکرومولار گلوتاتیون در سطح الکترود خمیر کربن اصلاح شده و (e) غلظت $۵۰/۰$ میکرومولار گلوتاتیون در سطح الکترود خمیر نانولوله کربنی اصلاح شده در حضور بافر فسفات $۰/۰$ مولار $pH = ۵/۰$ و پتاسیم کلرید $۰/۰$ مولار و سرعت روبش ۲۰ میلی ولت بر ثانیه ۷۸
- شكل (۲۷-۳) تأثیر pH بافر فسفات $۰/۰$ مولار بر روی تفاوت جریان سیگال آندی شاهد و غلظت $۳۰/۰$ میکرومولار گلوتاتیون در سطح الکترود خمیر نانولوله کربنی ۱% نسبت به پارا آمینو فل و $۰/۰$ مولار KCl و سرعت روبش $۲۰ mVs^{-1}$ ۸۰
- شكل (۲۸-۳) تأثیر pH بافر بر روی ولتاموگرام چرخه ای الکترود خمیر نانولوله کربنی: (a) بدون اصلاحگر، (b) بدون اصلاحگر در حضور غلظت $۵۰/۰$ میکرومولار گلوتاتیون، (c) اصلاحگر پارا آمینوفل و (d) اصلاحگر پارا آمینوفل در حضور غلظت $۳۰/۰$ میکرومولار گلوتاتیون، در شرایط: (شکل a') $۵/۰$ $pH = ۶/۰$ و (شکل b') $۰/۰$ $pH = ۶/۰$ در سرعت روبش $۲۰ mVs^{-1}$ و $۰/۰$ KCl (الکتروولیت حامل) ۸۰

- شكل (۲۹-۳) تغییرات شدت جریان پیک آندی اصلاحگر بر حسب $V^{1/2}$ در سطح الکترود خمیر نانولوله کربنی اصلاح شده پارا آمینو فنل. ولتاموگرامهای ثبت شده در سرعت روبش مختلف: (a) ۵/۰، (b) ۱۰/۰، (c) ۳۰/۰، (d) ۵۰/۰، (e) ۸۰/۰، (f) ۱۵۰/۰ و (g) ۱۸۵/۰ میلی ولت بر ثانیه در بافر فسفات ۱/۰ مولار = pH ۵/۰ و پتاسیم کلرید ۱/۰ مولار ۸۲
- شكل (۳۰-۳) بررسی تغییرات ماکریسم جریان پیک آندی غلظت ۷۰۰/۰ میکرومولار گلوتاتیون بر حسب جذر سرعت روبش پتانسیل ($V^{1/2}$) در سطح الکترود خمیر نانولوله کربنی اصلاح شده پارا آمینو فنل. ولتاموگرامهای گزارش شده در سرعت اسکن های: (a) ۱، (b) ۵، (c) ۱۰، (d) ۱۵ و (e) ۲۰ میلی ولت بر ثانیه در بافر فسفات ۱/۰ مولار = pH ۵/۰ و پتاسیم کلرید ۱/۰ مولار ۸۳
- شكل (۳۱-۳) ولتاموگرامهای موج مربعی غلظت های مختلف گلوتاتیون به ترتیب از شماره هی ۱ تا ۱۴: ۱/۰۷، ۰/۲۰، ۰/۰۰، ۱/۷۷، ۲/۸۷، ۱/۱۰، ۴/۳۰، ۲/۵۰۰، ۳۸/۰۰، ۵۳/۴۰، ۷۱/۸۰، ۸۰/۷۰، ۸۹/۲۰، ۷۱/۸۰، ۱۰۰/۰۰ میکرومولار گلوتاتیون در شرایط دامنه ای ولتاژ ۵۰/۰ میلی ولت و فرکانس ۱۵/۰ هرتز در بافر فسفات ۱/۰ مولار = pH ۵/۰ و پتاسیم کلرید ۱/۰ مولار ۸۵
- شكل (۳۲-۳) ناحیه ای خطی اول مربوط به غلظت های ۴/۳-۲/۴ میکرومولار گلوتاتیون در بافر فسفات ۱/۰ مولار = pH ۵/۰ و ۱/۰ KCl ۸۵
- شكل (۳۳-۳) دومین محدوده ای خطی جریان بر حسب غلظت ۴/۳-۱۰۰/۰ میکرومولار گلوتاتیون در بافر فسفات ۱/۰ مولار = pH ۵/۰ و ۱/۰ KCl ۸۶
- شكل (۳۴-۳) منحنی تافل الکترود خمیر نانولوله کربنی اصلاح شده پارا آمینو فنل در حضور غلظت ۷۰۰/۰ میکرومولار گلوتاتیون در شرایط سرعت روبش ۲۰ میلی ولت بر ثانیه و بافر فسفات ۱/۰ مولار = pH ۵/۰ و پتاسیم کلرید ۱/۰ مولار ۸۷
- شكل (۳۵-۳) نمودارهای کرونوآمپرومتری مربوط به غلظت های: (a) ۰/۰، (b) ۱۰۰/۰، (c) ۶۰۰/۰ و (d) ۸۰۰/۰ میکرومولار گلوتاتیون در شرایط پله ای پتانسیل دو گانه ۰/۱۸ و ۰/۲۵، ولت نسبت به الکترود مرجع نقره / نقره کلرید در بافر فسفات ۱/۰ مولار = pH ۵/۰ و پتاسیم کلرید ۱/۰ مولار ۸۸
- شكل (۳۶-۳) رسم معادله کاترول جهت به دست آوردن ضریب نفوذ برای غلظت های ۱۰۰/۰، ۱۰۰/۰ و ۶۰۰/۰ میکرومولار گلوتاتیون به ترتیب از پایین به بالا ۸۸
- شكل (۳۷-۳) کرونوکلوموگرامهای مربوط به غلظت های: (a') ۰/۰، (b') ۰/۰، (c') ۱۰۰/۰ و (d') ۸۰۰/۰ میکرومولار گلوتاتیون در بافر فسفات ۱/۰ مولار = pH ۵/۰ و پتاسیم کلرید ۱/۰ مولار ۸۹
- شكل (۳۸-۳) به دست آوردن ثابت سرعت الکتروکاتالیزوری برای غلظت های ۱۰۰/۰، ۱۰۰/۰ و ۶۰۰/۰ میکرومولار گلوتاتیون به ترتیب از پایین به بالا در بافر فسفات ۱/۰ مولار = pH ۵/۰ و پتاسیم کلرید ۱/۰ مولار ۹۰
- شكل (۳۹-۳) دیاگرامهای نایکوئیست الکترود خمیر نانولوله کربنی اصلاح شده پارا آمینوفنل: (a) در غیاب گلوتاتیون و (b) در حضور غلظت ۱۰۰۰/۰ میکرومولار گلوتاتیون در بافر فسفات ۱/۰ مولار = pH ۵/۰ و پتاسیم کلرید ۱/۰ مولار ۹۱
- شكل (۴۰-۳) مکانیسم کاتالیز گلوتاتیون توسط پارا آمینو فنل در سطح الکترود خمیر نانولوله کربنی اصلاح شده ۹۴

فهرست جدول‌ها

عنوان	
صفحه	
۲۶.....	جدول (۱-۲) آزمون‌های تشخیصی برای سیستم‌های کاملاً برگشت‌پذیر در C 25°
۲۷.....	جدول (۲-۲) آزمون‌های تشخیصی برای سیستم‌های کاملاً تردگشته ناپذیر در C 25°
۲۸.....	جدول (۳-۲) آزمون‌های تشخیصی برای سیستم‌های شبه برگشت‌پذیر.....
۲۹.....	جدول (۴-۲) برخی از مکانیسم‌های الکتروشیمیایی معمول که توسط نیکلسون و شاین بررسی شده‌اند.....
۳۰.....	جدول (۵-۲) آزمون‌های تشخیصی برای واکنش‌های کاتالیتیک.....
۳۳.....	جدول (۶-۲) انواع پودرهای کربن مورد استفاده در تهیه خمیر کربن.....
۳۴.....	جدول (۷-۲) انواع نگهدارنده‌های مورد استفاده در تهیه خمیر کربن.....
۳۶.....	جدول (۸-۲) انواع روش‌های اصلاح الکترودها.....
۵۴.....	جدول (۱-۳) بررسی pH و اثر آن بر روی جریان آندی اصلاح‌گردر غیاب و حضور غلظت $400/0$ میکرومولار L-سیستئین.....
۵۷.....	جدول (۲-۳) بررسی تأثیر سرعت روبش پتانسیل بر تغییرات شدت جریان دماغه‌ی آندی غلظت $200/0$ میکرومولار L-سیستئین در سطح الکترود خمیر نanolوله‌ی کربنی اصلاح شده.....
۵۹.....	جدول (۳-۳) منحنی تنظیم در ناحیه غلظتی $0/5$ تا $100/0$ میکرومولار L-سیستئین در سرعت روبش 20 میلی‌ولت بر ثانیه.....
۶۰.....	جدول (۴-۳) منحنی تنظیم در ناحیه غلظتی $10/0$ تا $300/0$ میکرومولار تریپتوфан در سرعت روبش 20 میلی‌ولت بر ثانیه.....
۷۱.....	جدول (۵-۳) بررسی مزاحمت گونه‌های خارجی در اندازه گیری L-سیستئین و تریپتوfan با غلظت‌های به ترتیب $10/0$ و $30/0$ میکرومولار.....
۷۳.....	جدول (۶-۳) نتایج حاصل از آنالیز نمونه‌های حقیقی برای تعیین L-سیستئین و تریپتوfan.....
۷۹.....	جدول (۷-۳) تأثیر pH بر روی ماکریسم جریان آندی اصلاح‌گردر غیاب و حضور غلظت $300/0$ میکرومولار گلوتاتیون.....
۸۱.....	جدول (۸-۳) تأثیر سرعت روبش پتانسیل بر تغییرات شدت جریان دماغه‌ی آندی اصلاح‌گر در سطح الکترود خمیر نanolوله‌ی کربنی اصلاح شده با پارا آمینو فل.....
۸۲.....	جدول (۹-۳) اثر سرعت اسکن بر روی جریان دماغه‌ی آندی غلظت $700/0$ میکرومولار گلوتاتیون در سطح الکترود خمیر نanolوله‌ی کربنی اصلاح شده با پارا آمینو فل.....
۸۴.....	جدول (۱۰-۳) منحنی تنظیم ناحیه‌ی غلظتی $100/0$ - $2/0$ میکرومولار گلوتاتیون.....
۹۱.....	جدول (۱۱-۳) بررسی مزاحمت گونه‌های خارجی در اندازه گیری غلظت $5/0$ میکرومولار گلوتاتیون.....
۹۲.....	جدول (۱۲-۳) اندازه گیری گلوتاتیون در نمونه‌ی حقیقی اریتروسیت خون.....
۹۳.....	جدول (۱۳-۳) اندازه گیری گلوتاتیون در نمونه‌ی حقیقی ادرار.....

چکیده:

در این پژوهشی تحقیقاتی، آمینواسیدهایی از جمله L-سیستئین و تریپتوفان به صورت همزمان و همچنین گلوتاتیون با استفاده از الکترود خمیر نانولوله‌ی کربنی اصلاح شده پارا آمینو فل اندازه‌گیری شدند. تکنیک‌های ولتاوری چرخه‌ای، ولتاوری پالسی تفاضلی، ولتاوری موج مربعی، کرونوآمپرومتری و طیف بینی اپدانس الکتروشیمیایی برای اندازه‌گیری آمینواسیدهای مورد نظر استفاده شده است. با کمک مطالعات ولتاوری چرخه‌ای مشخص گردید که اکسایش این آمینواسیدها بر روی سطح الکترود خمیر کربن ساده در پتانسیل‌های بالا انجام می‌شود. استفاده از اصلاح‌گر پارا آمینو فل در سطح الکترود خمیر کربن باعث انجام واکنش الکترو-کاتالیزی شده، بنابراین اضافه ولتاژ اکسیداسیون این گونه‌ها را کاهش می‌دهد. با استفاده از تکنیک ولتاوری پالسی تفاضلی مشخص گردید که سیگنال‌های مربوط به اکسیداسیون L-سیستئین و تریپتوفان با تفاوت پتانسیل 0.60 V ولت به طور کامل از یکدیگر جدا می‌شوند. در حالی که در سطح الکترود خمیر کربن ساده با یکدیگر همپوشانی دارند. استفاده از پودر نانو لوله‌ی کربنی در ساخت الکترود خمیر کربن، باعث افزایش جریان گونه‌ها در سطح الکترود و در نتیجه افزایش حساسیت اندازه‌گیری می‌شود. بنابراین نتایج نشان می‌دهد که استفاده از اصلاح‌گر پارا آمینو فل و پودر نانولوله‌ی کربنی باعث کاهش اضافه ولتاژ آمینواسیدها و افزایش حساسیت اندازه‌گیری می‌شوند. برای اندازه‌گیری آمینو اسیدهای L-سیستئین، تریپتوفان و گلوتاتیون با استفاده از الکترود خمیر نانولوله‌ی کربنی اصلاح شده پارا آمینو فل، پارامترهای دستگاهی و غلطی بهینه گردید. $\text{pH} = 6.0$ به عنوان بافر بهینه برای اندازه‌گیری L-سیستئین و تریپتوفان، همچنین $\text{pH} = 5.0$ برای اندازه‌گیری گلوتاتیون انتخاب شد. تحت شرایط بهینه، منحنی تنظیم با استفاده از تکنیک ولتاوری پالسی تفاضلی رسم گردید که ناحیه‌ی خطی ۰/۵ تا ۱۰۰/۰ میکرو مولار، ۱۰/۰ تا ۳۰۰/۰ میکرو مولار و همچنین حد تشخیص $0/۳$ و $0/۷$ به ترتیب برای L-سیستئین و تریپتوفان به دست آمد. با استفاده از روش ولتاوری موج مربعی، منحنی تنظیم برای گلوتاتیون به دست آمد که نتایج نشان دهنده دو ناحیه‌ی خطی غلطی برای گلوتاتیون می‌باشد. ناحیه‌ی خطی اول در محدوده‌ی غلطی $0/۲$ تا $4/۳$ میکرو مولار و ناحیه‌ی غلطی دوم در محدوده‌ی $4/۳$ تا $100/0$ میکرو مولار و حد تشخیص گلوتاتیون $0/۰۹$ میکرو مولار به دست آمد. انحراف استاندارد نسبی برای ده بار اندازه‌گیری تکراری غلطت های $10/0$ میکرو مولار L-سیستئین و گلوتاتیون به ترتیب $2/۴$ و $2/۱$ درصد حاصل شد. تکنیک کرونوآمپرومتری برای اندازه‌گیری ثابت سرعت کاتالیزوری و ضریب نفوذ استفاده شد. ثابت سرعت و ضریب نفوذ L-سیستئین به ترتیب $D = 6/20 \times 10^{-4} \text{ cm}^2 \text{ s}^{-1}$ و $k_h = 4/36 \times 10^{-3} \text{ M}^{-1} \text{ s}^{-1}$ و $D = 6/00 \times 10^{-4} \text{ cm}^2 \text{ s}^{-1}$ و $k_h = 9/30 \times 10^{-3} \text{ M}^{-1} \text{ s}^{-1}$ حاصل گردید. روش پیشنهادی برای اندازه‌گیری L-سیستئین و تریپتوفان در نمونه‌های حقیقی ادرار، قرص، آب رودخانه، سرم و پلاسمای خون و همچنین اندازه‌گیری گلوتاتیون در پلاسمای خون مورد استفاده قرار گرفت. برای اندازه‌گیری گلوتاتیون نیز از نمونه‌های حقیقی ادرار و اریتروسیت خون استفاده گردید.

کلمات کلیدی:

L-سیستئین، تریپتوفان، گلوتاتیون، خمیر نانو لوله‌ی کربنی چند دیواره و پارا آمینو فل.

فصل اول

مقدمه

آمینواسیدها مولکول‌هایی هستند که شامل گروه‌های آمین، کربوکسیلیک اسید و زنجیره‌ی جانبی که بین آمینواسیدهای مختلف متفاوت است، می‌باشند. این مولکول‌ها شامل عناصر اصلی کربن، هیدروژن، اکسیژن و نیتریژن هستند.

فرمول عمومی α -آمینو اسیدها^۱ $H_2NCHRCOOH$ است که R زنجیره‌ی آلی می‌باشد. در α -آمینو اسیدها، گروه‌های آمین و کربوکسیلات به اتم کربن متشابهی متصل می‌گردند که α -کربن نامیده می‌شود. ساختار این گروه از آمینو اسیدها در شکل (۱-۱) آورده شده است. بسته به نوع شاخه‌ی جانبی (گروه R) که به کربن آلفا متصل است آمینو اسیدهای متعددی به وجود می‌آید. اگر شاخه‌ی جانبی فقط اتم هیدروژن باشد، آمینو اسید گلایسین^۲ و اگر گروه متیل باشد، آمینو اسید آلانین^۳ نام دارد. در آمینو اسیدهایی مانند تریپتوفان^۴ در زنجیره‌ی جانبی، گروه‌های هتروسیکل بزرگ وجود دارد.

آمینو اسیدها از جمله ترکیبات بسیار مهم در بدن موجودات زنده می‌باشند و در متابولیسم و ظایف متعددی دارند. اهمیت آن‌ها در کاربرد این دسته از ترکیبات جهت ساختن پروتئین‌ها است. آمینو اسیدها می‌توانند از

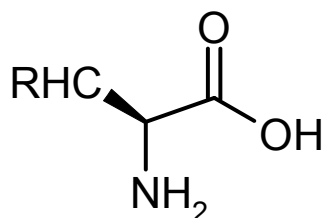
1. α-Amino acids

². Glycine

³. Alanine

4. Tryptophan

مکان های مختلفی به یکدیگر متصل شده و پروتئین های متعددی را به وجود آورند. همچنین به دلیل نقش آنها در بیوشیمی، در تغذیه نیز بسیار حائز اهمیت می باشند به همین دلیل از آمینواسیدها در تکنولوژی صنعت و غذا استفاده می شود.



شکل (۱-۱) ساختار کلی α -آمینواسیدها

بیست آمینواسید استاندارد وجود دارد که از آنها برای سنتز پروتئین ها و یا مولکول های زیستی دیگر استفاده می شود. این ترکیبات می توانند اکسید شده و به اوره و کربن دی اکسید تبدیل شوند. بنابراین به عنوان منبع انرژی نیز استفاده می شوند [۱]. آمینواسیدهای استاندارد در دو دسته ای اصلی قرار می گیرند:

(الف) آمینواسیدهای ضروری که بدن انسان نمی تواند آنها را به مقداری که برای رشد مورد نیاز است سنتز کند و به همین دلیل باید از منابع غذایی تأمین شوند، مانند تریپتوفان [۲].

(ب) آمینواسیدهای غیر ضروری که بدن می تواند آنها را سنتز کند، مانند سیستئین [۳].

α -آمینواسیدها به جز گلایسین در دو فرم ایزومر نوری وجود دارند که آمینواسیدهای L و D نامیده می شوند که تصویر آینه ای یکدیگر هستند. L-آمینواسیدها در پروتئین های در بافت انتقال ریبوزوم نقش دارند. D-آمینواسیدها در بعضی از پروتئین هایی که با آنزیم تولید می شوند وجود دارند. آنها همچنین از اجزای فراوان پپتیدو گلیکون^۱ دیواره‌ی سلولی باکتری ها هستند [۴].

۱-۲-L-سیستئین^۲

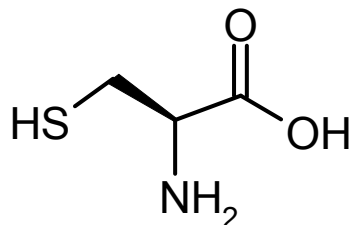
سیستئین [۲-آمینو-۳-مرکاپتو پروپونیک اسید]^۳ علامت اختصاری آن Cys است که دارای فرمول شیمیایی HO₂CCH(NH₂)CH₂SH می باشد. ساختار این آمینواسید در شکل (۱-۲) نشان داده شده است.

سیستئین از دسته ای α -آمینواسیدهای غیر ضروری است زیرا در بدن انسان تحت شرایط فیزیولوژیکی طبیعی سنتز می شود. اما در موارد کمیابی، از جمله برای نوزادان، افراد سالمند و افراد مبتلا به بیماری های متابولیک خاص، می تواند ضروری باشد.

¹. Peptidoglycan

². L-Cysteine

³. 2-Amino-3-mercaptopropanoic acid



شکل (۱-۲) ساختار L-سیستین

زنگیره‌ی جانبی در ساختار سیستئین گروه تیول است که قطبی است و بنابراین سیستئین در طبقه‌ی آمینواسیدهای آب دوست^۱ قرار می‌گیرد. تیول در واکنش‌های آنزیمی شرکت می‌کند و با اکسیداسیون، یک مشتق دی سولفید که سیستین^۲ نامیده می‌شود، تولید می‌کند.

سیستئین در اوایل قرن نوزدهم در سال ۱۸۱۰ کشف شد، در صورتی که مونومر آن یعنی سیستئین در سال ۱۸۸۴ شناخته شد. سیستئین در دستگاه گوارش و پلاسمای خون کاتابولیز می‌شود سپس سیستئین به صورت ایمن از دستگاه گوارش و پلاسمای خون عبور می‌کند و بلافاصله بعد از ورود به سلول به دو مولکول سیستئین کاهش می‌یابد [۵].

سیستئین در بیشتر غذاهای با مقدار پروتئین بالا یافت می‌شود، از جمله:

الف) منابع حیوانی: سوسیس، گوشت، مرغ، بوقلمون، اردک، تخم مرغ، شیر و ماست.

ب) منابع گیاهی: فلفل قرمز، سیر، پیاز، بروکلی، جوانه بروکسل، جو و جوانه گندم.

ج) منابع صنعتی: L-سیستئین به صورت صنعتی با هیدرولیز مو و کراتین به دست می‌آید [۶].

گروه تیول موجود در سیستئین وقتی یونیزه می‌شود واکنش پذیری آن زیاد می‌شود و به عنوان یک نوکلئوفیل عمل می‌کند. این گروه اغلب به شکل فعال تیولات در سلول‌ها یافت می‌شود و به دلیل خاصیت واکنش پذیری زیاد گروه تیول، این آمینواسید نقش مهمی در فعالیت‌های بیولوژیکی دارد. به دلیل توانایی این گروه برای واکنش اکسایش-کاهش، سیستئین خاصیت آنتی اکسیدان دارد. پیوند دی سولفید در پروتئین‌ها با اکسیداسیون گروه تیول ایجاد می‌شود که نقش مهمی در ساختار و استحکام پروتئین دارد. با ایجاد پیوند دی سولفید بین دو مولکول سیستئین، یک مولکول سیستئین تولید می‌شود [۷]. (شکل ۱-۳) نحوه اکسایش سیستئین و کاهش سیستئین را نشان می‌دهد.

عموماً انانتیومر L-سیستئین به عنوان یک ماده‌ی اولیه در مواد غذایی، دارویی، صنایع و مراقبت‌های شخصی به طور گسترده مورد استفاده قرار می‌گیرد، زیرا کمبود L-سیستئین باعث بیماری‌هایی مانند رشد کم در کودکان، کاهش رنگدانه‌ی مو، آماس، بیحالی، آسیب کبد، از بین رفت نیروی عضلانی، ضعیف شدگی و آسیب پوستی می‌شود.

^۱. Hydrophilic

^۲. Cystine